



COBEM 79

V CONGRESSO BRASILEIRO DE
ENGENHARIA MECANICA

CAMPINAS, 12-13-14 e 15

DEZEMBRO 1979

TRABALHO DE PESQUISA
RESEARCH PAPER

N.º D-09

P.P. 130 - 143

TEORIA NÃO LINEAR DE CASCAS ELÁSTICAS

Jesus Adjalma da Costa Junior

Aluno de Pós-Graduação, Eng. Mecânica
CT/UFSC - Florianópolis - SC - Brasil

Domingos Boechat Alves

Prof. Titular - Depto. Eng. Mecânica
CT/UFSC - Florianópolis - SC - BrasilSumário

Neste trabalho são apresentadas as relações de deformação-deslocamento, as equações de equilíbrio, de compatibilidade e constitutivas para uma teoria não linear de cascas elásticas, na qual não é usada a hipótese de Kirchhoff-Love.

Summary

This work presents the strain-displacement relations and the equilibrium, the compatibility and constitutive equations for a nonlinear elastic shell theory in which the Kirchhoff-Love assumption was not used.

1. Introdução

Neste trabalho é descrita uma teoria não linear para cascas elásticas, isotrópicas, na qual não é usada a hipótese de Kirchhoff-Love. Os tensores, em termos das componentes do vetor deslocamento, são obtidos através das relações cinemáticas entre as superfícies deformada e indeformada. As equações de equilíbrio, em relação à superfície deformada, são obtidas pelo princípio dos trabalhos virtuais.

2. Propriedades métricas das cascas

Uma casca é definida como sendo um corpo elástico tridimensional de volume V , delimitado por duas superfícies externas, uma superior (S^+) e outra inferior (S^-), distantes de uma superfície de referência S^0 , de h^+ e h^- , respectivamente, com a condição de que $h^+ - h^-$, denominada espessura da casca, seja menor do que o raio de curvatura no ponto considerado. A posição do ponto P na superfície de referência indeformada é denotado por \bar{r}_0 ; do ponto P^* , na deformada, por \bar{r}_0^* , como ilustra a figura 2.1.

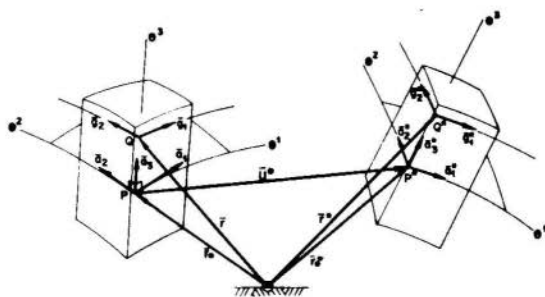


Fig. 2.1

O vetor posição de um ponto Q numa superfície arbitrária é dado por:

$$\bar{r}(\theta^1, \theta^2, \theta^3) = \bar{r}_0(\theta^1, \theta^2) + \theta^3 \bar{a}_3(\theta^1, \theta^2) \quad (2.1)$$

onde (θ^i) ($i = 1, 2, 3$) são coordenadas curvilíneas, e \bar{a}_3 é o vetor unitário normal à superfície de referência indefor-

mada, cujos vetores tangentes são:

$$\bar{a}_\alpha = \partial \bar{r}_0 / \partial \theta^\alpha = \bar{r}_{0,\alpha} \quad (2.2)$$

e o tensor métrico

$$a_{\alpha\beta} = \bar{a}_\alpha \cdot \bar{a}_\beta, \quad a^{\alpha\lambda} a_{\beta\lambda} = \delta_\beta^\alpha, \quad \bar{a}^\alpha = a^{\alpha\lambda} \bar{a}_\lambda \quad (2.3)$$

onde δ_β^α é o tensor de Kronecker. Os vetores tangentes e as componentes do tensor métrico para o ponto Q, são

$$\bar{g}_\alpha = \bar{a}_\alpha - \theta^3 b_\alpha^\beta \bar{a}_\beta \quad (2.4)$$

$$g_{\alpha\beta} = a_{\alpha\beta} - 2\theta^3 b_{\alpha\beta} + (\theta^3)^2 b_{\alpha\beta} b_\beta^\alpha \quad (2.5)$$

$$\bar{g}_3 = \bar{g}^3 = \bar{a}_3 = \bar{a}^3, \quad g_{33} = g^{33} = a_{33} = a^{33} = 1 \quad (2.6)$$

$$g_{\alpha 3} = g^{\alpha 3} = a_{\alpha 3} = a^{\alpha 3} = 0 \quad (2.7)$$

onde b_β^α são as componentes mistas do tensor da segunda forma fundamental da superfície de referência definidos por:

$$b_\beta^\alpha = b_{\beta\lambda} a^{\alpha\lambda}, \quad b_{\alpha\beta} = -\bar{a}_{3,\alpha} \cdot \bar{a}_\beta = \bar{a}_3 \cdot \bar{a}_{\alpha,\beta}$$

O elemento de volume, em termos das coordenadas curvas \underline{i} linhas da superfície de referência S^0 , e da coordenada θ^3 é

$$dv = \mu d\theta^3 ds^0, \quad ds^0 = \sqrt{a} d\theta^1 d\theta^2 \quad (2.8)$$

$$\mu = \sqrt{g/a} = 1 - 2\theta^3 H + (\theta^3)^2 K \quad (2.9)$$

onde

$$K = \frac{1}{2} b_\alpha^\alpha, \quad H = \frac{1}{2} \delta_{\lambda\mu}^\alpha b_\alpha^\lambda b_\beta^\mu, \quad g = \det (g_{ij}), \quad a = \det (a_{\alpha\beta}) \quad \dots (2.10)$$

Sendo H e K as curvaturas média e gaussiana, respectivamente, e ds^0 elemento de área da superfície de referência indeformada.

Da figura 2.1, o vetor posição do ponto Q^* na superfície arbitrária é dado por:

$$\bar{r}^* = \bar{r}_0^*(\theta^1, \theta^2) + \theta^3 \bar{a}_3^*(\theta^1, \theta^2) \quad (2.11)$$

Para as componentes do tensor métrico da superfície deformada são válidas as equações (2.3) com asteriscos e (2.4) a (2.7) se transformam em

$$\bar{g}_\alpha^* = \bar{a}_\alpha^* + \theta^3 \bar{a}_{3,\alpha}^* \quad (2.12)$$

$$g_{\alpha\beta}^* = a_{\alpha\beta}^* + \theta^3 (\bar{a}_{3,\alpha}^* \cdot \bar{a}_\beta^* + \bar{a}_{3,\beta}^* \cdot \bar{a}_\alpha^*) + (\theta^3)^2 (\bar{a}_{3,\alpha}^* \cdot \bar{a}_{3,\beta}^*) \quad (2.13)$$

$$g_{\alpha 3}^* = a_{\alpha 3}^* + \theta^3 (\bar{a}_{3,\alpha}^* \cdot \bar{a}_3^*); \quad \bar{g}_{33}^* = a_{33}^* \quad (2.14)$$

3. Relações deformação-deslocamento

Definindo-se dois vetores deslocamento que determinam o vetor posição \bar{r}^* dado por, $\bar{U}^0 = \bar{r}_0^* - \bar{r}_0$ e $\bar{U}^1 = \bar{a}_3^* - \bar{a}_3$, o que resulta

$$\bar{g}_\alpha^* = \bar{a}_\alpha^* + \theta^3 \bar{a}_{3,\alpha}^* = (\bar{a}_\alpha + \bar{U}_{,\alpha}^0) + \theta^3 (\bar{U}_{,\alpha}^1 - b_\alpha^\mu \bar{a}_\mu) \quad (3.1)$$

$$\bar{g}_3^* = \bar{a}_3^* = \bar{a}_3 + \bar{U}^1 \quad (3.2)$$

O tensor deformação tridimensional é:

$$\epsilon_{ij} = \frac{1}{2} (g_{ij}^* - g_{ij}) \quad (3.3)$$

no qual, usando as aproximações (3.1) e (3.2), resulta em:

$$\epsilon_{\alpha\beta} = e_{\alpha\beta}^0 + e_{\alpha\beta}^1 (\theta^3) + e_{\alpha\beta}^2 (\theta^3)^2 \quad (3.4)$$

$$\epsilon_{\alpha 3} = e_{\alpha 3}^0 + e_{\alpha 3}^1 (\theta^3) \quad (3.5)$$

$$\epsilon_{33} = e_{33}^0 \quad (3.6)$$

onde

$$e_{\alpha\beta}^0 = \frac{1}{2} (a_{\alpha\beta}^* - a_{\alpha\beta}) = \frac{1}{2} (\bar{a}_\alpha \cdot \bar{U}_{,\beta}^0 + \bar{a}_\beta \cdot \bar{U}_{,\alpha}^0 + \bar{U}_{,\alpha}^0 \cdot \bar{U}_{,\beta}^0) \quad (3.7)$$

$$e_{\alpha 3}^0 = \frac{1}{2} (\bar{a}_3 \cdot \bar{U}_{,\alpha}^0 + \bar{a}_\alpha \cdot \bar{U}^1 + \bar{U}^1 \cdot \bar{U}_{,\alpha}^0) \quad (3.8)$$

$$e_{33}^0 = \bar{a}_3 \cdot \bar{U}^1 + \frac{1}{2} \bar{U}^1 \cdot \bar{U}^1 \quad (3.9)$$

$$e_{\alpha\beta}^1 = \frac{1}{2} (\bar{a}_\alpha \cdot \bar{U}_{,\beta}^1 + \bar{a}_\beta \cdot \bar{U}_{,\alpha}^1 - b_\alpha^\mu \bar{a}_\mu \cdot \bar{U}_{,\beta}^0 - b_\beta^\mu \bar{a}_\mu \cdot \bar{U}_{,\alpha}^0 + \bar{U}_{,\alpha}^0 \cdot \bar{U}_{,\beta}^1 + \bar{U}_{,\beta}^0 \cdot \bar{U}_{,\alpha}^1) \quad (3.10)$$

$$e_{\alpha 3}^1 = \frac{1}{2} (\bar{a}_3 \cdot \bar{U}_{,\alpha}^1 - b_\alpha^\mu \bar{a}_\mu \cdot \bar{U}^1 + \bar{U}^1 \cdot \bar{U}_{,\alpha}^1) \quad (3.11)$$

$$e_{\alpha\beta}^2 = -\frac{1}{2} (b_\alpha^\mu \bar{a}_\mu \cdot \bar{U}_{,\beta}^1 + b_\beta^\mu \bar{a}_\mu \cdot \bar{U}_{,\alpha}^1 - \bar{U}_{,\alpha}^1 \cdot \bar{U}_{,\beta}^1) \quad (3.12)$$

4. Equações de equilíbrio

O trabalho virtual das forças internas para um corpo tridimensional é expresso por:

$$TVI = \int_{V^*} \sigma^{ij} \delta \epsilon_{ij} dV^* \quad (i, j = 1, 2, 3) \quad (4.1)$$

onde σ^{ij} é o tensor tensão simétrico, ϵ_{ij} é o tensor deformação e V^* denota o volume do corpo deformado. A equação (4.1) pode ser reescrita como

$$TVI = \int_{V^*} (\sigma^{\alpha\beta} \delta \epsilon_{\alpha\beta} + 2\sigma^{\alpha 3} \delta \epsilon_{\alpha 3} + \sigma^{33} \delta \epsilon_{33}) dV^* \quad (4.2)$$

Introduzindo as equações (3.4) a (3.6) em (4.2) levando-se em conta as relações de \bar{U}^0 e \bar{U}^1 , obtém-se

$$\begin{aligned} TVI = \int_{S^0} \{ & N^{\alpha\beta} (\bar{a}_\alpha + \bar{U}_{,\alpha}^0) \cdot \delta \bar{U}_{,\beta}^0 + M^{\alpha\beta} ((\bar{a}_\alpha + \bar{U}_{,\alpha}^0) \cdot \delta \bar{a}_{3,\beta}^* + \\ & + \bar{a}_{3,\beta}^* \cdot \delta \bar{U}_{,\alpha}^0) + B^{\alpha\beta} \bar{a}_{3,\alpha}^* \cdot \delta \bar{a}_{3,\beta}^* + S^\alpha (\bar{a}_\alpha + \bar{U}_{,\alpha}^0) \cdot \delta \bar{a}_3^* + \\ & + \bar{a}_3^* \cdot \delta \bar{U}_{,\alpha}^0) + Q^\alpha (\bar{a}_3^* \cdot \delta \bar{a}_{3,\alpha}^* + \bar{a}_{3,\alpha}^* \cdot \delta \bar{a}_3^* + \bar{P}^3 \cdot \delta \bar{a}_3^*) \} dS^0 \\ & \dots (4.3) \end{aligned}$$

onde S^0 é a área da superfície de referência deformada e a seguinte notação é usada

$$\begin{aligned}
 N^{\alpha\beta} &= \int_{-h^-}^{h^+} \mu^* \sigma^{\alpha\beta} d\theta^3, & M^{\alpha\beta} &= \int_{-h^-}^{h^+} \mu^* \sigma^{\alpha\beta} \theta^3 d\theta^3, \\
 B^{\alpha\beta} &= \int_{-h^-}^{h^+} \mu^* \sigma^{\alpha\beta} (\theta^3)^2 d\theta^3, & S^\alpha &= \int_{-h^-}^{h^+} \mu^* \sigma^{\alpha 3} d\theta^3 \\
 Q^\alpha &= \int_{-h^-}^{h^+} \mu^* \sigma^{\alpha 3} \theta^3 d\theta^3, & \bar{P}^3 &= \bar{a}_3^* \int_{-h^-}^{h^+} \mu^* \sigma^{33} d\theta^3 \quad (4.4)
 \end{aligned}$$

O trabalho virtual das cargas atuantes nas superfícies externas, \bar{T}_e , e o das forças associadas às condições de contorno, \bar{T}_c , (fig. 4.1), são respectivamente:

$$TVE_e = \int_{S^*} \bar{T}_e (\delta \bar{U}^0 + \theta^3 \delta \bar{a}_3^*)_e dS^* \quad (4.5)$$

$$TVE_c = \int_{S^*} \bar{T}_c (\delta \bar{U}^0 + \theta^3 \delta \bar{a}_3^*)_c dS^* \quad (4.6)$$

onde o subscrito (e) e (c) refere-se à superfície exterior e ao contorno, respectivamente.

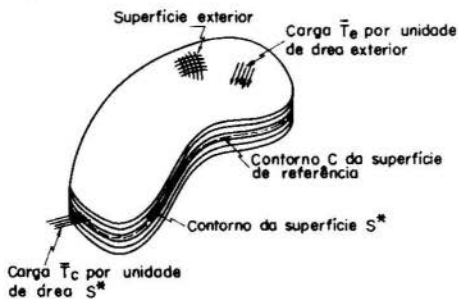


Fig. 4.1

A expressão (4.5) pode ser transformada para superfície de referência:

$$TVE_e = \int_{S^{0*}} \sqrt{\frac{g_e^*}{a^*}} \bar{T}_e (\delta \bar{U}^0 + \theta^3 \delta \bar{a}_3^*) dS^{0*} \quad (4.7)$$

Denotando por \bar{n} o vetor unitário normal a S^* e por C o con

torno da superfície de referência, a equação (4.6) é reescrita:

$$\text{TVE}_c = \int_{S^*} \int_{\theta^3} \bar{T}_c (\delta \bar{U}^0 + \theta^3 \delta \bar{a}_3^*) (\bar{n} \cdot (\bar{a}_\alpha^* \times \bar{a}_3^*)) \frac{d\theta^\alpha}{dC} d\theta^3 dC \quad \dots(4.8)$$

Pelo princípio dos trabalhos virtuais tem-se

$$\text{TVI} = \text{TVE} = \text{TVE}_e + \text{TVE}_c \quad (4.9)$$

no qual, como não foi imposta nenhuma condição de vínculo, todas as variações estaticamente admissíveis que aparecem nesta expressão são independentes.

Das equações (4.3) a (4.9), obtêm-se as equações de equilíbrio

$$[N^{\beta\alpha} (\bar{a}_\beta + \bar{U}^0_{,\beta}) + M^{\alpha\beta} \bar{a}_{3,\beta}^* + S^\alpha \bar{a}_3^*]_{;\alpha} + \sqrt{g_e^*/a^*} \bar{T}_e = 0 \quad (4.10)$$

$$[M^{\alpha\beta} (\bar{a}_\alpha + \bar{U}^0_{,\alpha}) + B^{\alpha\beta} \bar{a}_{3,\alpha}^* + Q^\beta \bar{a}_3^*]_{;\beta} - S^\alpha (\bar{a}_\alpha + \bar{U}^0_{,\alpha}) + Q^\alpha \bar{a}_{3,\alpha}^* - \bar{p}^3 + \sqrt{g_e^*/a^*} \theta^3 \bar{T}_e = 0 \quad (4.11)$$

onde (;) denota diferenciação covariante no estado deformado e ambas as equações possuem somente 3 componentes não nulas.

As condições de contorno associadas com as equações (4.10) e (4.11) são, respectivamente,

$$(N^{\beta\alpha} (\bar{a}_\beta + \bar{U}^0_{,\beta}) + M^{\alpha\beta} \bar{a}_{3,\beta}^* + S^\alpha \bar{a}_3^*) v_\alpha = \int_{\theta^3} \bar{T}_e [\bar{n} \cdot (\bar{a}_\alpha^* \times \bar{a}_3^*)] \frac{d\theta^\alpha}{dC} d\theta^3 \quad \text{ou } \bar{U}^0 \text{ prescrito} \quad (4.12)$$

$$(M^{\alpha\beta} (\bar{a}_\alpha + \bar{U}^0_{,\alpha}) + B^{\alpha\beta} \bar{a}_{3,\alpha}^* + Q^\beta \bar{a}_3^*) v_\beta = \int_{\theta^3} \bar{T}_c \theta^3 [\bar{n} \cdot (\bar{a}_\alpha^* \times \bar{a}_3^*)] \frac{d\theta^\alpha}{dC} d\theta^3 \quad \text{ou } \bar{a}_3^* \text{ prescrito} \quad (4.13)$$

onde v_α é o vetor unitário normal à curva de contorno da superfície de referência S^{0*} .

5. Equações de compatibilidade

Para a obtenção das equações de compatibilidade pode-se utilizar o teorema de Riemann para o qual, desde que o espaço seja plano, os tensores g_{ij} e g_{ij}^* são funções não arbitrárias das coordenadas e deverão satisfazer as seguintes equações:

$$R_{ijkl} = 0 \quad \text{e} \quad R_{ijkl}^* = 0 \quad (5.1)$$

onde (5.1) são os tensores de Riemann Christoffel cujas expressões são, respectivamente,

$$R_{ijkl} = \Gamma_{jli,k} - \Gamma_{jki,l} + \Gamma_{jkm} \Gamma_{il}^m - \Gamma_{jlm} \Gamma_{ik}^m \quad (5.2)$$

$$R_{ijkl}^* = {}^*\Gamma_{jli,k} - {}^*\Gamma_{jki,l} + {}^*\Gamma_{jkm} {}^*\Gamma_{il}^m - {}^*\Gamma_{jlm} {}^*\Gamma_{ik}^m \quad (5.3)$$

$$\Gamma_{ijk} = \frac{1}{2} (g_{ik,j} + g_{jk,i} - g_{il,k}) \quad \Gamma_{ij}^k = g^{kl} \Gamma_{ijl} \quad (5.4)$$

O tensor métrico do sistema deformado é expresso em termos do tensor deformação e do tensor métrico do estado indeformado por

$$g^{*ij} = -2 g^{il} g^{jk} \epsilon_{lk} + g^{ij} \quad (5.5)$$

Utilizando as equações (5.4) e (3.2) para calcular símbolos de Christoffel deformado, tem-se:

$${}^*\Gamma_{jli} = \Gamma_{jli} + \epsilon_{ji,l} + \epsilon_{li,j} - \epsilon_{jl,i} \quad (5.6)$$

$${}^*\Gamma_{jki} = \Gamma_{jki} + \epsilon_{ji,k} + \epsilon_{ki,j} - \epsilon_{jk,i} \quad (5.7)$$

Os símbolos de Christoffel de segunda espécie são calculados a partir de (5.4) e (5.5) resultando:

$$\begin{aligned} {}^*\Gamma_{ij}^k &= \Gamma_{ij}^k - 2 g^{ks} g^{lr} (\Gamma_{ijl} + \epsilon_{il,j} + \epsilon_{jl,i} - \epsilon_{ij,l}) (\epsilon_{sr}) + \\ &+ g^{kl} (\epsilon_{il,j} + \epsilon_{jl,i} - \epsilon_{ij,l}) \end{aligned} \quad (5.8)$$

Multiplicando (5.6) por (5.8) e fazendo troca de índices, tem-se:

$$\begin{aligned}
 +\Gamma_{jkm} \star \Gamma_{i\ell}^m &= \Gamma_{i\ell}^m \Gamma_{jkm} + \Gamma_{i\ell}^m (\epsilon_{jm,k} + \epsilon_{km,j} - \epsilon_{jk,m}) - \\
 - 2g^{ms} g^{pr} \epsilon_{sr} &(\Gamma_{i\ell p} + \epsilon_{ip,\ell} + \epsilon_{\ell p,i} - \epsilon_{i\ell,p}) (\Gamma_{jkm} + \epsilon_{jm,k} + \\
 + \epsilon_{km,j} - \epsilon_{jk,m}) &+ g^{mp} (\epsilon_{ip,} + \epsilon_{\ell p,i} - \epsilon_{i\ell,p}) (\Gamma_{jkm} + \epsilon_{jm,k} + \\
 + \epsilon_{km,j} - \epsilon_{jk,m}) & \quad (5.9)
 \end{aligned}$$

Substituindo a equação (5.9) e as derivadas de (5.6) e (5.7) com relação a k e ℓ , respectivamente, na equação (5.3) e fazendo uso das relações (5.1), obtém-se:

$$\begin{aligned}
 (\epsilon_{jk,i\ell} + \epsilon_{\ell i,jk} - \epsilon_{j\ell,ik} - \epsilon_{ki,j\ell}) &+ \Gamma_{i\ell}^m (\epsilon_{jm,k} + \epsilon_{km,j} - \\
 - \epsilon_{jk,m}) - \Gamma_{ik}^m (\epsilon_{jm,\ell} + \epsilon_{\ell m,j} - \epsilon_{j\ell,m}) &+ 2g^{ms} g^{pr} \epsilon_{sr} \cdot \\
 \cdot ((\Gamma_{ikp}) (\Gamma_{j\ell m} + \epsilon_{jm,\ell} + \epsilon_{\ell m,j} - \epsilon_{j\ell,m})) &+ (\Gamma_{j\ell m}) (\epsilon_{ip,\ell} + \\
 + \epsilon_{\ell p,i} - \epsilon_{i\ell,p}) - 2g^{ms} g^{pr} \epsilon_{sr} ((\Gamma_{i\ell p}) &(\Gamma_{jkm} + \epsilon_{jm,k} + \\
 + \epsilon_{km,j} - \epsilon_{jk,m}) - (\Gamma_{jkm}) (\epsilon_{ip,\ell} + \epsilon_{\ell p,i} - \epsilon_{i\ell,p})) &+ \\
 + g^{mp} (\epsilon_{ip,\ell} + \epsilon_{\ell p,i} - \epsilon_{i\ell,p}) (\Gamma_{jkm} - \epsilon_{jm,k} + \epsilon_{km,j} - \epsilon_{jk,m}) - & \\
 - g^{mp} (\epsilon_{ip,k} + \epsilon_{kp,i} - \epsilon_{ik,p}) (\Gamma_{j\ell m} + \epsilon_{jm,\ell} + \epsilon_{\ell m,j} - \epsilon_{j\ell,m}) = 0 & \\
 \dots & (5.10)
 \end{aligned}$$

A equação (5.10) juntamente com a identidade de Bianchi [3]

$$R_{k\ell mn;p}^* + R_{k\ell np;m}^* + R_{k\ell pm;n}^* = 0 \quad (5.11)$$

constituem as equações de compatibilidade em termos das componentes do tensor de deformação da superfície de referência.

6. Equações constitutivas de um sólido elástico isotrópico

De acordo com a teoria do estado natural, um corpo perfeitamente elástico e isotrópico, possui uma função densidade de energia ϕ da seguinte forma [3]

$$\phi = \phi(\theta^i, I_1, I_2, I_3) \quad (6.1)$$

onde θ^i ($i = 1, 2, 3$) são coordenadas referidas a um certo estado de referência e I_i ($i = 1, 2, 3$) são os invariantes de deformação definidos por:

$$I_1 = K_1; I_2 = \frac{1}{2}(K_1^2 - K_2); I_3 = \frac{1}{6}(K_1^3 - 3K_1 K_2 + 2K_3) \quad (6.2)$$

onde

$$K_1 = g^{ij} \epsilon_{ij}; K_2 = g^{ip} g^{jq} \epsilon_{ij} \epsilon_{pq}; K_3 = g^{ip} g^{jq} g^{kr} \epsilon_{ij} \epsilon_{pk} \epsilon_{qr} \quad (6.3)$$

A relação entre o tensor tensão σ^{ij} e o tensor deformação ϵ_{ij} é obtida da seguinte forma:

$$\sigma^{ij} = \frac{\rho}{\rho_0} \frac{\partial \phi}{\partial \epsilon_{ij}} \quad \text{onde } \rho_0 = \rho \sqrt{g^*}, \quad \rho = \text{densidade} \quad (6.4)$$

A equação (6.4) foi introduzida por Boussinesq (1870-1872). Derivando parcialmente a relação (6.1), resulta

$$\frac{\partial \phi}{\partial \epsilon_{ij}} = \frac{\partial \phi}{\partial I_1} \frac{\partial I_1}{\partial \epsilon_{ij}} + \frac{\partial \phi}{\partial I_2} \frac{\partial I_2}{\partial \epsilon_{ij}} + \frac{\partial \phi}{\partial I_3} \frac{\partial I_3}{\partial \epsilon_{ij}} \quad (6.5)$$

Usando as expressões (6.2) para os invariantes, tem-se

$$\frac{\partial I_1}{\partial \epsilon_{ij}} = g^{ij} \quad (6.6)$$

$$\frac{\partial I_2}{\partial \epsilon_{ij}} = I_1 g^{ij} - g^{ip} g^{jq} \epsilon_{pq} \quad (6.7)$$

$$\begin{aligned} \frac{\partial I_3}{\partial \epsilon_{ij}} = I_2 g^{ij} - I_1 (g^{ip} g^{jq} \epsilon_{pq}) + \\ + (g^{ip} g^{jq} g^{kr} \epsilon_{pk} \epsilon_{qr}) \end{aligned} \quad (6.8)$$

consequentemente

$$\begin{aligned} \frac{\partial \phi}{\partial \epsilon_{ij}} = & C_1 g^{ij} + C_2 [(I_1 g^{ij} - g^{ip} g^{jq} \epsilon_{pq})] + \\ & + C_3 [(I_2 g^{ij} - I_1 (g^{ip} g^{jq} \epsilon_{pq}) + \\ & + (g^{ip} g^{jq} g^{kr} \epsilon_{pk} \epsilon_{qr})] \end{aligned} \quad (6.9)$$

onde

$$C_1 = \frac{\partial \phi}{\partial I_1} \quad C_2 = \frac{\partial \phi}{\partial I_2} \quad C_3 = \frac{\partial \phi}{\partial I_3} \quad (6.10)$$

A expressão (6.4) pode ser reescrita na seguinte forma:

$$\begin{aligned} \sigma^{ij} = & \frac{\rho}{\rho_0} \frac{\partial \phi}{\partial \epsilon_{ij}} = \frac{\rho}{\rho_0} [C_1 g^{ij} + C_2 (I_1 g^{ij}) - \\ & - (g^{ip} g^{jq} \epsilon_{pq}) + C_3 (I_2 g^{ij} - I_1 (g^{ip} g^{jq} \epsilon_{pq}) + \\ & + (g^{ip} g^{jq} g^{kr} \epsilon_{pk} \epsilon_{qr}))] \end{aligned} \quad (6.11)$$

Considerando ϕ como uma função analítica das deformações, ela pode ser expressa como uma série de potência dos invariantes de deformação e portanto

$$C_3 = \frac{\partial \phi}{\partial I_3} = C_{TWY} I_1^T I_2^W I_3^Y \quad (6.12)$$

onde $T, W, Y = 0, 1, 2, \dots$, e a soma dos índices fica subentendida como sendo aquela que não aparece repetida.

Com C_3 dado por (6.12), tem-se

$$\frac{\partial C_3}{\partial I_2} = \frac{\partial C_2}{\partial I_3} = W C_{TWY} I_1^T I_2^{W-1} I_3^Y \quad (6.13)$$

e integrando resulta em

$$C_2 = \frac{W}{Y+1} C_{TWY} I_1^T I_2^{W-1} I_3^{Y+1} + D_{TW} I_1^T I_2^W \quad (6.14)$$

onde o segundo termo do lado direito da equação representa uma função arbitrária de integração. Similarmente, com o re

sultado (6.14) obtêm-se

$$\frac{\partial C_2}{\partial I_1} = \frac{\partial C_1}{\partial I_2} = \frac{TW}{Y+1} C_{TWY} I_1^{T-1} I_2^{W-1} I_3^{Y+1} + T D_{TW} I_1^{T-1} I_2^W \quad (6.15)$$

e integrando obtêm-se

$$C_1 = \frac{T}{Y+1} C_{TWY} I_1^{T-1} I_2^W I_3^{Y+1} + \frac{T}{W+1} D_{TW} I_1^{T-1} I_2^{W+1} + E_T I_1^T \quad (6.16)$$

onde o terceiro termo do lado direito representa uma função arbitrária de integração.

Com base em (6.13), (6.14) e (6.16) o tensor tensão (6.14) é novamente reescrito como:

$$\begin{aligned} \sigma^{ij} = & \frac{\rho}{\rho_0} \left[\left(\frac{T}{Y+1} C_{TWY} I_1^{T-1} I_2^W I_3^{Y+1} + \frac{T}{W+1} D_{TW} I_1^{T-1} I_2^{W+1} + \right. \right. \\ & + E_T I_1^T (g^{ij} + \left. \left(\frac{W}{Y+1} C_{TWY} I_1^T I_2^{W-1} I_3^{Y+1} + \right. \right. \\ & + D_{TW} I_1^T I_2^W) (I_1 g^{ij} - g^{ij} g^{jq} \epsilon_{pq}) + \\ & + C_{TWY} I_1^T I_2^W I_3^Y (I_2 g^{ij} - I_1 (g^{ip} g^{jq} \epsilon_{pq}) + \\ & \left. \left. + g^{ip} g^{jq} g^{kr} \epsilon_{pk} \epsilon_{qr}) \right) \right] \quad (6.17) \end{aligned}$$

As equações constitutivas em termos das tensões são obtidas substituindo a equação (6.17) em (4.4).

7. Conclusões

As equações obtidas se reduzem às apresentadas por vários autores quando são introduzidas as respectivas hipóteses simplificativas.

Assim, as relações tensões-deformações (3.8) a (3.12) quando utilizada a hipótese de Kirchhoff-Love se reduzem às equações apresentadas na ref. [5]. Além disso, quando é tomado no sistema de referência para o estado deformado a terceira componente \bar{a}_3^* como produto vetorial das componentes tangentes à superfície de referência deformada, estas relações se reduzem às apresentadas na ref. [6].

Utilizando as equações de equilíbrio de Naghdi [4], ob

tidas por processo diferente do aqui apresentado, Birickoglu e Kalnins [1] chegaram às equações, que a menos de notações são idênticas às relações (4.10) e (4.11).

Linearizando as deformações na relação (5.12) obtém-se, a menos de notação, a equação (4.13) da ref. [2].

Desenvolvendo as relações (4.1) da ref. [5] em termos dos invariantes do tensor deformação chega-se às equações constitutivas (6.17) apresentadas neste trabalho. Supondo a hipótese de Kirchhoff-Love e adotando as seguintes hipóteses linearizadoras

$$C_1 = \frac{\partial \Phi}{\partial I_1} = \lambda + 2G - \alpha(3\lambda + 2G)(T - T_0)$$

$$C_2 = \frac{\partial \Phi}{\partial I_2} = -2G \quad \text{e} \quad C_3 = \frac{\partial \Phi}{\partial I_3} = 0$$

nas quais λ e G são, respectivamente, o coeficiente de Lamé e módulo de cisalhamento, e α o coeficiente de expansão térmica, as equações (6.11) se reduzem às apresentadas na ref. [4].

8. Agradecimento

Os autores agradecem à Financiadora de Estudos e Projetos (FINEP) e à Comissão Nacional de Energia Nuclear (CNEN) que apoiaram a realização desta pesquisa.

Bibliografia

- [1] Birickoglu, V. and Kalnins, A., Large elastic deformations of shells with the inclusion of transverse normal strain., Int. J. Solids Struct., 7, 431-444 (1971).
- [2] Chien Wei-Zang, Intrinsic theory of shells and plates, Part I - General Theory, Q. Appl. Math. 1, 297-327 (1944).
- [3] Erigen, A.C., Nonlinear theory of continuous média McGraw-Hill (1962).

- [4] Naghdi, P.M., Foundations of elastic shell theory, Progress in Solid Mechanics, Vol. 4, North-Holland (1963).
- [5] Naghdi, P.M. and Nordgreen, R.P., On the nonlinear theory of elastic shells under the Kirchhoff Hypothesis, Q. Appl. Math. 21, 49-59 (1963).
- [6] Sanders, J.L., Nonlinear theories for thin shells, Q. Appl. Math 21, 21-36 (1963).